

海岸堤防模型実験における波の多重再反射軽減法

名城大学 正会員 伊藤 政博

1. はじめに
 現地海岸では、海岸堤防前面で反射した波は無限遠へ消散するが、海岸移
 動床で堤防前面の堤脚洗掘及び造波装置を規則波を用いて二次元的に再現する場合、波を長時間作用
 させると、堤防前面と造波板との間に波の多重再反射が生じ、波の特性そのものが変化してしまう。
 海岸堤防前面の洗掘及び造波装置に関する研究は従来よりかなり発表されているが、波の多重再反射
 の防止および軽減法についてはある程度なおざりになっている。最近、英国のソルダ氏の発明による
 吸収式造波機が日本でも製造販売されるようになった。本研究は、各所に設置されている二次元
 造波水槽を改造することによって、波の多重再反射を軽減する方法について述べる。

2. 波の多重再反射軽減法
 波の多重再反射軽減法として、従来方法及び最近の新しい
 方法を系統的に分類し、その概念図及び特色などを表-1に記した。この表で、IVの方法は造波水槽
 の改造及び設置に相当の経費を必要とする。その外、I, II, IIIの方法は既存の水槽を簡単に改良す
 ることができる。I-(a)の仕切板による方法については、合田(1968)及びIV-(a)の鉛直振動液式造波
 法については、佐本ら(1967)によって詳
 しく調べられている。この研究では、表
 一1, I-(b), II及びIIIの方法による波
 の多重再反射軽減効果を実験的に調べる
 ことにする。

3. 実験装置及び方法
 実験
 は、長さ約26m、幅1m、高さ1mの井
 面ガラス珪酸塩製造波水槽の一端にFlope
 式の造波装置を有するものを使用した。
 この造波水槽内を長さ方法に概45cm仕
 切板で二分した。井側の水路は合成樹脂
 で1/10の斜面を造り消波構造とした。も
 う一方のガラス側の水路には、1/10の斜
 面を固定床で造った。このガラス側の水
 路には、表-2で示すように、海岸堤防

表-1 波の多重再反射軽減法の分類

波の多重再反射軽減法	概念図	特色および特性
I 仕切板法	側式(a)	本水槽内に十分な消波装置を設置すれば水槽内は波の多重再反射が解決されるが、小水路内は波の多重再反射が生じる。
	側式(b)	水槽の側面から消波装置を突出させることにより、小水路内の消波が可能。
II Filter法	鉛直式(a)	従来のこの方法が広く使用されている。
	可溶性材料液面式(b)	(a) 水槽の一面に反射波を生じない。 (b) 消波通過性がよく、水槽の一面にのみ波の反射が生じる。
III 水流循環法		堤防の反射波の波のエネルギーを吸収して消散させる方法。
IV 造波法	鉛直振動液式(a)	水深が浅くとも波のエネルギーを吸収して消散させることができる。造波部の反射は波のエネルギーを吸収する。
	吸収式(b)	最近開発された式で、反射波のエネルギーを吸収して消散させることができる。波の多重再反射はほとんど生じない。

表-2 実験条件の概要

h cm	T sec	L ₀ m	H cm	H ₀ /L ₀	海岸堤防設置位置及び条件
40	3	14.04	10	0.006	<p>① 造堤防(1/10斜面) ② 砕石境点 ③ 砕石境点と斜面先端の中間 ④ 斜面先端</p>
	3	14.04	5	0.003	
	2	6.24	10	0.016	
	2	6.24	5	0.008	
	1	1.56	10	0.067	
	1	1.56	5	0.034	

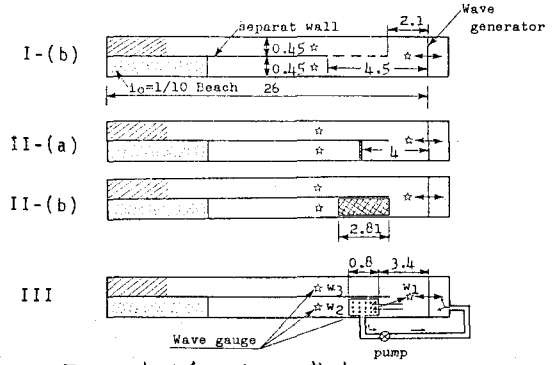


図-1 波の多重再反射軽減法 unit in m

として鉛直壁を, ②碎波突, ③碎波突に斜面先端との中間, ④斜面先端に入れ込む場合と①鉛直壁の長い斜面のみの場合について実験を行なひ, 波の多重再反射軽減法として, 図-1で示すように次の実験内容とした。可成り;

I-(b): 写真-1に示すように造波板の仕切板までの長さ l を変え, $l=2.1m$; {I-(b)₂} , $l=4.5m$; {I-(b)₁}

II-(a): 鉛直式 Filter法として, 2種の Filter [空隙率 $\lambda=96\%$, 波の透過率 $K_T=90\%$; {II-(a)₁}] 及び $\lambda=96\%$, $K_T=70\%$; {II-(a)₂}].

II-(b): 写真-2のようにな $\lambda=96\%$, 長さ $2.81m$ の可撓性水平係留式 Filter.

III: 流速 $U=10.8cm/s$ の流をポンプで強制的に引き起す。このときの波速 c との比 $U/c=1/3.7 \sim 1/18.2$ である。

上記I-(b)以外の実験は, $l=2.1m$ に仕切板を入れ込む造波水槽を用いているので, これらの実験には当然この影響が入っていると考へられる。表-1で波高と波長の設定下, W_2 の位置で造波開始後3~5波の平均を取って行ひ, W_2 の平均値を設定波高 H とした。さらに波が定常 K_T 以後, 波高計 W_2 を移動させて, 波の envelope を記録した。

4. 実験結果の整理及びその考察

波高計 W_2 K_T の envelopeから, 最大値 H_{max} 及び最小値 H_{min} を求め, Healy法に F を入射波高 $H_I=(H_{max}+H_{min})/2$ を多重再反射の大きさを表わす量とした。この値は, 波の多重再反射がくり返されなければ設定波高 H に等しいと考へられるので, $K_M=\{(H_{max}+H_{min})/2\}/H$ を求めて実験結果を整理し図-2に示してある。この図は, 表-2で示される①~④の選材設置位置ごとく各種軽減法の効果が示してある。この図から, ①の堤防のたぬ斜面のみの場合は, K_M のばらつきが小さいが, 堤防の設置②~④に伴って K_M の増大がみられる。実験した各種の方法の中で, II-(b)可撓性水平係留式 Filter法は波の多重再反射防止効果が大きいことがわかる。さらに, 各種方法の相対的比較を行ひうなめには, 波の透過率, 液利伝達特性などを詳しく調べる必要がある。

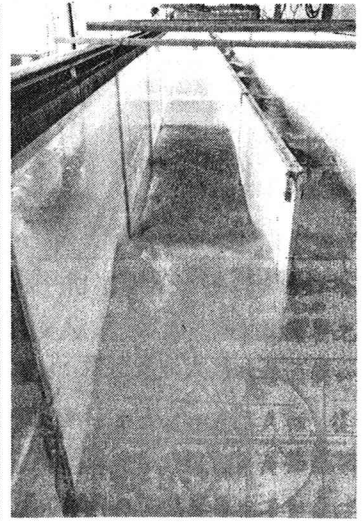
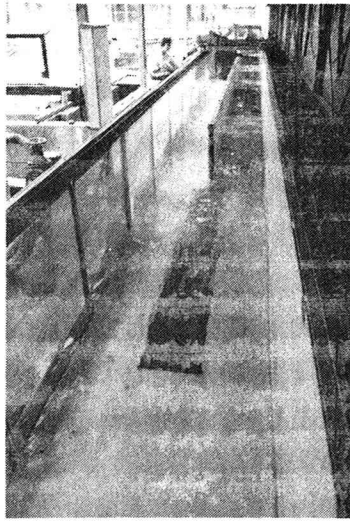


写真-2. 可撓性水平係留式 Filter法

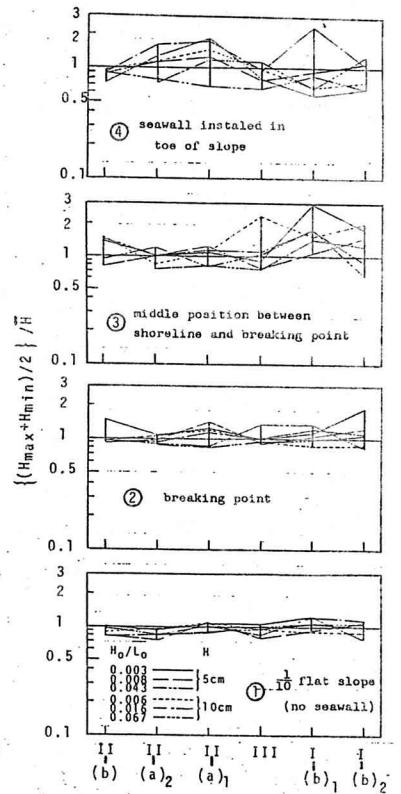


図-2 各種方法の効果とその比較